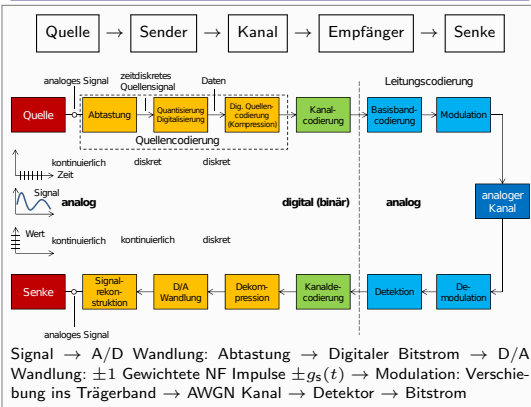


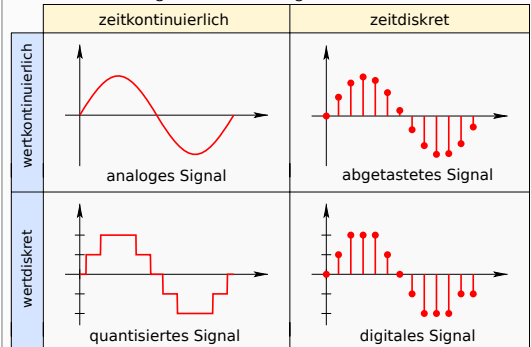
## Allgemeines



## 1. Signale

### 1.1. Arten von Signalen

**deterministisch:** durch Funktionen beschreibbar, enthalten kein Nachricht.  
**stochastisch:** zufälliger Verlauf, überträgt Information



Vorteile digitales Signal: Kompression, Verschlüsselung, Fehlerkorrektur

### 1.2. Sonstiges

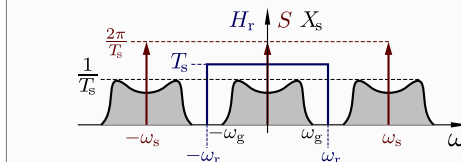
**Autokorrelation**  $r_V(\tau) \stackrel{\mathcal{F}}{\longleftrightarrow} S_V(f)$  **Leistungsdichtespektrum**  
 $x(t), y(t)$  sind orthogonal, falls  $\int_{-\infty}^{\infty} x(t)y(t) dt = 0$   
**Kompl. Fehlerfunktion**  $\text{erfc}(x) = 1 - \text{erf}(x) = \frac{2}{\sqrt{\pi}} \int_x^{\infty} e^{-\tau^2} d\tau$

## 2. Abtastung von Signalen

### Abtasttheorem

Signal  $x(t)$ , Abtastfunktion  $s(t) = T_A \sum \delta(t - nT_s)$ , Tiefpassfilter  $h_r(t)$

Vorgang Zeitbereich Frequenzbereich  
 Abtasten:  $x_s(t) = s(t) \cdot x(t)$   $X_s(\omega) = S(\omega) * X(\omega)$   
 Rekonstr.  $x_r(t) = h_r(t) * x_s(t)$   $X_r(\omega) = H_r(\omega) \cdot X_s(\omega)$



Bandbreite  $\omega_g$ , Abtastfrequenz  $\omega_s$

$$\omega_s = \frac{2\pi}{T_s} \geq 2\omega_g \quad \omega_g \leq \omega_r \leq \omega_s - \omega_g$$

Abtastoperator:  $\mathbb{A}\{x(t)\} = x(t) \cdot T_A \sum_{n=-\infty}^{\infty} \delta(t - nT_A)$

Rekonstruktion:  $x_r(t) = T_A \sum_{n=-\infty}^{\infty} x(nT_A) \cdot h_r(t - nT_A)$

Abbruchfehler:  $|\Delta| = \left| \frac{x_r(t) - x(t)}{x(t)} \right|$

Periodisierungsoperator:  $\mathbb{P}\{X(f)\} = X(f) * \sum_{n=-\infty}^{\infty} \delta(f - \frac{n}{T_A})$

Ideale Abtastung:  $\mathbb{A}\{x(t)\} \stackrel{f_A=1/T_A}{\longleftrightarrow} \mathbb{P}\{X(f)\}$

## 3. Quantisierung und Digitalisierung

wertkontinuierliche Sequenz von (zeitdiskreten) Abtastwerten wird abgebildet auf wertdiskrete Sequenz.

$$x(nT_A) \text{ mit } n \in \mathbb{Z} \xrightarrow{x_Q} x_Q(nT_A)$$

### 3.1. Allgemeines

Quantisierungsfunktion  $\underline{x}_Q = Q(\underline{x})$

Bildet Vektoren  $\underline{x} \in \mathbb{R}^N$  auf eine Menge  $S$  ab mit  $|S| = M$   
 Man benötigt  $m = \lceil \log_2 M \rceil$  bits um  $\underline{x}_Q$  zu repräsentieren.  
 Intervall  $I_i = [g_i, g_{i+1})$  enthält Reprodwert  $s_i$

Skalare Quantisierer:  $N = 1$  Vektor Quantisierer:  $N > 1$

Quantisierungsfehler:  $q(\underline{x}) = \underline{x}_Q - \underline{x} = s_i - x$

(besteht aus granularem Rauschen und Überlastungsrauschen)

### 3.2. Skalare Quantisierung $N = 1$

$m$  Bits für einen ( $N = 1$ ) Abtastwert

Quantisierungsfehler  $q(x) = x_Q - x = x_Q(nT_A) - x(nT_A)$

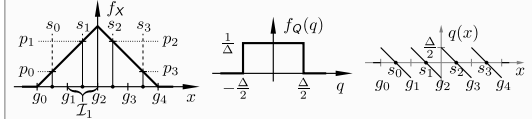
$$\text{Quantisierungsfehlerleistung: } P_Q = \int q(x)^2 f_X(x) dx = \sum_{s_i} \int_{g_i}^{g_{i+1}} (s_i - x)^2 f_X(x) dx$$

Optimales  $s_i$  (setze  $\frac{\partial P_Q}{\partial s_i} \stackrel{!}{=} 0$ ):

$$s_i = \frac{\int_{g_i}^{g_{i+1}} x f_X(x) dx}{\int_{g_i}^{g_{i+1}} f_X(x) dx} = E[X | x \in I_i]$$

### 3.3. Lineare Quantisierung

Spezialfall der skalaren Quantisierung mit gleich großen Quantisierungsintervallen  $\Delta$ .



$$\text{Es gilt für PDF: } \int_{-\infty}^{\infty} f_X(x) dx \stackrel{!}{=} 1$$

Gleich große Quantisierungsintervalle  $I_i = [g_i, g_{i+1})$  mit Breite  $\Delta$   
 $\Delta = \frac{x_{\max} - x_{\min}}{2^m} = g_{i+1} - g_i$

Reproduktionswerte  $s_i$  in der Mitte der Intervalle (midriser)  
 $s_i = \frac{2i - M + 1}{2} \Delta$

Auftrittswahrscheinlichkeit  $p_i$  der Quantisierungsstufe  $s_i$

$$p_i = \int_{g_i}^{g_{i+1}} f_X(x) dx$$

$$\text{Signalleistung } P_X = E[X^2] = \int_{x_{\min}}^{x_{\max}} x^2 f_X(x) dx$$

Gleichverteilung:  $P_X = \frac{x_{\max}^2}{3}$  Sinusförmig:  $P_S = \frac{x_{\max}^2}{2}$

$$\text{Fehlerleistung } P_Q = E[Q^2] = \int_{-\infty}^{\infty} q(x)^2 f_Q(q) dq$$

Bei gleichverteiltem Quantisierungsfehler:  $P_Q = \frac{\Delta^2}{12}$

$$\text{Signal-Noise-Ratio: } \text{SNR}_Q = \frac{P_X}{P_Q}$$

$$\text{SNR}_Q = \frac{P_X}{P_Q} = \begin{cases} \frac{x_{\max}^2/3}{\Delta^2/12} = 2^{2m} & \text{bei gleichverteiltem Signal} \\ \frac{x_{\max}^2/2}{\Delta^2/12} = \frac{3}{2} 2^{2m} & \text{bei sinusförmigem Signal} \end{cases}$$

Signal zu Quantisierungsrauschabstand  $\text{SNR}_{Q\text{dB}}$   
 $\text{SNR}_{Q\text{dB}} = 10 \log_{10}(\text{SNR}_Q) \text{ dB} = m \cdot 6 \text{ dB}$   
 (CD, 16 bit : 96 dB)

### 3.4. Nichtlineare Quantisierung

A-law-Kennlinie (Europa) und  $\mu$ -law-Kennlinie (USA)

$$C(x) = \begin{cases} \frac{1}{1 + \ln(A)} \cdot |x| \cdot \text{sgn}(x) & 0 \leq |x| \leq \frac{x_{\max}}{A} \\ \frac{1 + \ln(\frac{A \cdot |x|}{x_{\max}})}{1 + \ln(A)} \cdot |x| \cdot \text{sgn}(x) & \text{sonst} \end{cases}$$

$$A = 87.5 = 24 \text{ dB}$$

#### 3.4.1. Pulse Coded Modulation PCM

Abtastung + skalare Quantisierung:  $\text{SNR}_Q = \frac{P_X}{P_Q} = 2^{2m}$

#### 3.4.2. Differentielle PCM (DPCM)

Differenz zu vorhergesagtem Wert wird quantisiert.  
 Prädiktion 0.ter Ordnung: Kann bei schnellen, großen Änderungen nicht mehr folgen. Gut geeignet für Signale mit hoher zeitlicher Konzentration  $\rightarrow$  schmales Spektrum.

#### 3.4.3. Delta-Modulation (Hohe Überabtastung)

1-Bit-Quantisierung:  $e_Q(nT_s) = \pm \Delta$   
 Kann den Wert nicht Konstant halten, Tiefpass am Empfänger nötig

#### 3.4.4. Sigma-Delta-Modulator

$\Sigma$ : Summe/Integral  $\Delta$ : 1-bit-Quantisierer

### 3.5. Optimale skalare Quantisierung

#### Lloyd-Max-Algorithmus

- Wähle Startwerte für alle  $s_i^{(0)}$
- Intervallgrenzen:  $g_i^{(t+1)} = \frac{s_i^{(t)} + s_{i+1}^{(t)}}{2} \quad i = 1, \dots, M-1$
- Reprod. Werte:  $s_i^{(t+1)} = E[X | X \in I_i] \quad i = 0, \dots, M-1$
- Fehlerleistung  $P_Q^{(t+1)} = E[Q^2]$  mit  $s_i^{(t+1)}$  und  $g_i^{(t+1)}$
- Berechne relative Änderung  $\delta^{(t)} = \frac{P_Q^{(t+1)} - P_Q^{(t)}}{P_Q^{(t)}}$

### 3.6. Informationsgehalt und Entropie

Info vom Symbol  $s_i$ :  $I_i = -\log_2 P(X_Q = s_i) = -\log_2 p_i$

Entropie von  $X_Q$ :  $H(X_Q) = E[I] = - \sum_{i=0}^{M-1} p_i \log_2 p_i \quad \left[ \frac{\text{bit}}{\text{Symbol}} \right]$

Mittlere Codewortlänge  $\bar{l} = E[l] = \sum_{i=0}^{n-1} p_i l_i$

Die minimale mittlere Codewortlänge  $\bar{l} \geq H(X_Q)$

## 4. Dämpfung/Verstärkung, dB-Rechnung

### 4.1. Leistungspegel

Leistung:  $P = \frac{U_R^2}{R} = I^2 R$

Leistungspegel:

$$L_{P, \text{dB}} = 10 \log \frac{P_2}{P_1} \text{ dB} = 20 \log \frac{U_2}{U_1} \text{ dB} = 20 \log \frac{I_2}{I_1} \text{ dB}$$

$$L_{P, \text{dBm}} = 10 \log \frac{P}{1 \text{ mW}} \text{ dBm}$$

$$1 \text{ dBm} = 1 \text{ dBmW} = 30 \text{ dB}\mu\text{W} = 60 \text{ dBnW}$$

$$\text{Verstärkung [dB]} = L_{P, \text{dB}}; \text{ Dämpfung [dB]} = -L_{P, \text{dB}}$$

Logarithmische Rechenregeln:

$$x = a \cdot \log_b(c \cdot d) = \log_b c^a + \log_b d^a$$

$$b^x = (c \cdot d)^a = c^a \cdot d^a$$

$$\sqrt[q]{b^x} = c \cdot d$$

Durch  $x = (\frac{1}{x})^{-1}$  ergeben sich die Rechenregeln für Subtraktion und Division.

### 4.2. Umrechnung dB

Verhältnis $\frac{P_2}{P_1}$	Verstärkung [dB]	Dämpfung [dB]
$\frac{1}{1000} = 10^{-3}$	-30	+30
$\frac{1}{20} = 10^{-1}$	-13	+13
$\frac{1}{10} = 10^{-1}$	-10	+10
$\frac{1}{4}$	-6	+6
$\frac{1}{2}$	-3	+3
1	0	0
2	+3	-3
4	+6	-6
8	+9	-9
10	+10	-10
1000 = 10 <sup>3</sup>	+30	-30

### 4.3. Rechenregeln dB und dBm

dB $\mp$ dB	=	dB
dBm $\mp$ dB	=	dBm
dBm - dBm	=	dB
dBm + dBm	=	undefiniert

## 5. Baud-, Bit- und Übertragungsraten

### 5.1. Definitionen

Signalstufen = Anzahl der möglichen annehmbaren Werte eines diskreten Signals pro Schritt  
binäre Datenmenge in bit (binary digit) mit bit-Anzahl  $\in \mathbb{N}$   
1 Byte [1B] = 8 bit [8b] =  $2^8$   
Baudrate[Hz] = Schrittgeschwindigkeit  
Bitrate[bps] =  $\frac{Bps}{8} = V \cdot \text{Baudrate}$

Größe	Einheit	
diskrete Signalstufen V	1	Anzahl möglicher annehmbarer Werte
Baudrate	1 Hz	Schrittzahl
Bitrate	$1 \text{ bps} = 1 \frac{\text{bit}}{\text{s}}$	Datenrate in bits pro Sekunde
binäre Datenmenge	1 bit	1 Byte

## 6. Leitungstheorie

Leitungstheorie **relevant** für  $l \gg \lambda$ ,  $l \gg 1 \lambda$

### 6.1. Definitionen

Leitungslänge  $l$  mit  $[l] = m$   
Belagsgrößen:  $R', L', G', C'$  als Widerstands-, Induktivitäts-, Ableitungs-, Kapazitätsbelag  
Bsp:  $R = R' \cdot l$  mit  $[R'] = \frac{\Omega}{m}$   
Wellenimpedanz  $Z_L = \sqrt{\frac{(R' \cdot j\omega L')}{(G' \cdot j\omega C')}} = \sqrt{\frac{R'}{G'}}$   
Wellenlänge  $\lambda$  mit  $[\lambda] = m$   
Ausbreitungsgeschwindigkeit  $v = \lambda \cdot f$  mit  $[v] = m/s$   
Ausbreitungskonstante  $\gamma = \alpha + j\beta = \sqrt{(R' \cdot j\omega L')(G' \cdot j\omega C')}$   
mit  $[\gamma] = \frac{1}{m}$

### 6.2. Leitungsmodell

### 6.3. Formeln

## 7. Wellen und Antennen

Indizes: **E**(empfänger), **i**(isotroper Kugelstrahler), **r**(adius), **S**(ender)

### 7.1. Poynting-Vektor

Poynting-Vektor  $\vec{S}$  ist Vektor der Leistungsflussdichte mit  $[S] = 1 \frac{W}{m^2}$

$$\vec{S}(x, y, z, t) = \vec{E}(x, y, z, t) \times \vec{H}(x, y, z, t)$$

Für harmonische Zeitvorgänge und EM-Wellen ( $\vec{E} \perp \vec{H} = \frac{\pi}{2}$ ) gilt:

$$S = \frac{1}{2} E \cdot H = \frac{1}{2} H^2 Z_F = \frac{1}{2} \frac{Z_F}{E^2} \text{ mit } E, H \in \mathbb{C}$$

Wellenwiderstand im Vakuum  $Z_F = \sqrt{\frac{\mu_0}{\epsilon_0}} \approx 376, 73 \Omega$

$$S_i = \frac{P_S}{4\pi r^2}$$

$$\text{Richtfaktor } D_i = \frac{S_{r, \max}}{S_i} = 4\pi r^2 \frac{S_{r, \max}}{P_S}$$

i.d.R. angegeben als  $D_{i, \log} = 10 \log D_i \text{ dBi}$

Antennengewinn  $G = \eta D_i$  i.d.R. angegeben in dB

Antennenwirkläche  $A_W = \frac{\lambda^2}{4\pi} G$  mit der Wellenlänge  $\lambda = \frac{c}{f}$   
Bsp. Empfangs- und Sendeanenne im Abstand  $r$  zueinander:  $P_E = P_S \cdot G_S \cdot G_E \left(\frac{\lambda}{4\pi r}\right)^2$

## 8. Zugriffsverfahren

Rahmenzeit  $\tau$  in  $s$  für ein Paket

Rate  $\lambda$  in  $Hz$  mit der durchschnittlich Pakete gesendet werden

Zu sendende Pakete  $I$ , bei keinen verlorenen Pakete gilt  $I = S$

Anzahl Übertragungsversuche bzw. Kanalauslastung  $G = \lambda \cdot \tau$

Anzahl erfolgreich übertragener Pakete pro Rahmenzeit  $S$ , ideal  $S = G$

### Stop and Wait

### Pipelining

Wartezeit nur wenn

### 8.1. Pure ALOHA

Zufällige Sendung von Paketen durchschnittlich alle  $\frac{1}{\lambda}$  mit Paketen der zeitlichen Rahmenlänge  $\tau$

Potentielle Kollisionszeit =  $2\tau$

$$S = G \cdot e^{-2G} \text{ mit } S_{\max}(G = G_{\max} = 0,5) = 0,184$$

### 8.2. Slotted ALOHA

Zufälliges Senden von Paketen durchschnittlich alle  $\frac{1}{\lambda}$  zu Beginn eines Zeitslots mit Paketen der zeitlichen Rahmenlänge  $\tau$

Potentielle Kollisionszeit =  $\tau$

$$S = G \cdot e^{-G} \text{ mit } S_{\max}(G = G_{\max} = 1) = 0,368$$

### 8.3. CSMA/CD

Carrier Sense Multiple Access / Collision Detection

Ethernet: Min. Nachrichtenlänge > Max. Konfliktdauer oder ev. künstl. Nachrichtenverlängerung mit Padding Bits

## 9. Codierung

Komprimierung: Falls Bitstrom nicht gleichverteilt und mit Gedächtnis  
Maximale Kompression: Bits gleichverteilt, ohne Gedächtnis  
Entropie: kein Code kann für  $Z$  eine geringere mittlere Codewortlänge finden als  $H(z) = \sum P(z) \log_2 \left(\frac{1}{P(z)}\right)$

### 9.1. Kompression

Kleiner Verlust bei unkodierten Bitstrom. Großer Gewinn bei Kodierung.  
Bsp: Feste Blocklänge mit Statusbit am Anfang: Kodiert/Unkodiert

### 9.2. Digitale Quellencodierung (Kompression)

Arten von Kodieren:

**Verteilung Bekannt:** Huffman Code, Morse, Arithmetic

**Universal:** Lempel-Ziv (ZIP), PPM, BWT(bZip)

**Transform:** Fouriertransformation (JPG, GIF, PNG, MP3)

### 9.3. Kanalcodierung

Single-Parity-Check: 1 Bit pro 2 bit zusätzlich: XOR( $x_1, x_2$ )

Daraus ergibt sich eine Effizienz von  $\frac{2}{3}$

FEC: Forward Error Correction liefert Fehlererkennung und Korrektur.

Beispiele: Paritätsbit, CRC, Reed-Solomon-Codes, LDPC, Polar Codes

### 9.4. Hamming-Code(N,n)

$N$  Nachrichtenbits mit  $N = 2^k - 1 = n + k$

$n$  Datenbits

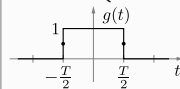
$k$  Paritybits

## 10. Basisbandübertragung

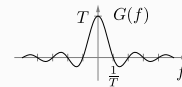
### 10.1. Impulsformen

#### 10.1.1. Rechteckimpuls $\text{rect}\left(\frac{t}{T}\right)$ :

$$g_{NRZ}(t) = \begin{cases} 1, & \text{für } |t| < \frac{T}{2} \\ \frac{1}{2}, & \text{für } |t| = \frac{T}{2} \\ 0, & \text{sonst} \end{cases}$$



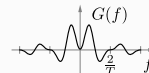
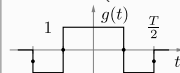
$$G_{NRZ}(f) = T \text{sinc}(fT)$$



#### 10.1.2. Manchester Impuls:

$$g(t) = -g_{NRZ}(t) + 2g_{NRZ}(2t) = \begin{cases} 1, & \text{für } |t| < \frac{T}{4} \\ 0, & \text{für } |t| = \frac{T}{4} \\ -1, & \text{für } \frac{T}{4} < |t| < \frac{T}{2} \\ -\frac{1}{2}, & \text{für } |t| = \frac{T}{2} \\ 0, & \text{sonst} \end{cases}$$

$$G(f) = T \left( \frac{\sin(\pi f \frac{T}{2})}{\pi f \frac{T}{2}} - \frac{\sin(\pi f T)}{\pi f T} \right)$$

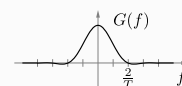
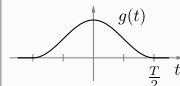


Mittelwert Null, kein Gleichanteil

#### 10.1.3. cos²-Impuls:

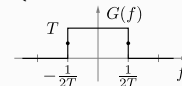
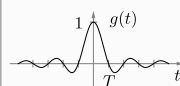
$$g(t) = \begin{cases} \cos^2\left(\frac{\pi t}{T}\right), & \text{für } |t| < \frac{T}{2} \\ 0, & \text{sonst} \end{cases}$$

$$G(f) = \frac{T}{2} \frac{\cos(\pi f \frac{T}{2})}{1 - (fT)^2} \frac{\sin(\pi f \frac{T}{2})}{\pi f \frac{T}{2}}$$



#### 10.1.4. sinc-Impuls: $\text{sinc}(x) = \text{si}(\pi x)$

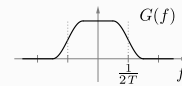
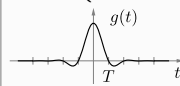
$$g(t) = \frac{\sin(\pi \frac{t}{T})}{\pi \frac{t}{T}} = \text{sinc}\left(\frac{t}{T}\right) \quad G(f) = \begin{cases} T, & \text{für } |f| < \frac{1}{2T} \\ \frac{T}{2}, & \text{für } |f| = \frac{1}{2T} \\ 0, & \text{sonst} \end{cases}$$



#### 10.1.5. „Nyquist roll-off“-Impuls:

$$g(t) = \frac{\sin(\pi \frac{t}{T})}{\pi \frac{t}{T}} \cdot \frac{\cos(\alpha \pi \frac{t}{T})}{1 - 4\alpha^2 (\frac{t}{T})^2}$$

$$G(f) = \begin{cases} \frac{T}{2} [1 + \cos(\frac{\pi T}{\alpha} (|f| - \frac{1-\alpha}{2T}))], & \text{für } |f| \leq \frac{1-\alpha}{2T} \\ 0, & \text{für } \frac{1-\alpha}{2T} < |f| \leq \frac{1+\alpha}{2T} \\ \text{sonst} \end{cases}$$



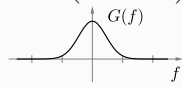
#### 10.1.6. Root-Raised-Cosine:

Meist genutzter Filter (Wurzel-Nyquist)

#### 10.1.7. Gauß-Impuls:

$$g(t) = \exp\left[-\pi \left(\frac{t}{\Delta t}\right)^2\right]$$

$$G(f) = \Delta t \cdot \exp\left(-\pi (\Delta t f)^2\right) = \frac{1}{\Delta f} \exp\left(-\pi \left(\frac{f}{\Delta f}\right)^2\right)$$



### 10.2. Energie wichtiger Impulse mit Amplitude A

$$E_S \{\text{rect}(\frac{t}{\alpha T})\} = A^2 \alpha |T| \quad E_S \{\text{tri}(\frac{t}{\alpha T})\} = \frac{2}{3} \alpha |T| A^2$$

$$E_S \{\text{sinc}(\frac{t}{\alpha T})\} = A^2 |\alpha| |T| \quad \text{Rampe 0 bis } \alpha T: \frac{\alpha}{3} |T| A^2$$

### 10.3. Bandbreite

Absolut: Alle positiven Frequenzen

B<sub>99</sub> Bandbreite: 99% der Signaleenergie bzw. -leistung liegen in diesem Bandbreitenbereich (geht auch mit 90%)

B<sub>6dB</sub> Bandbreite: Bis Hälfte des Spektrums  $G(f)$

B<sub>3dB</sub> Bandbreite: Bis Hälfte der Leistung

B<sub>N</sub> Äquivalente Rauschbandbreite

Bandbreiteneffizienz (Effizienz des Modulationsverfahrens):

$$\eta = \frac{\text{Übertragungsrate}}{\text{NF Bandbreite}} \quad [\eta] = \frac{\text{bit/s}}{\text{Hz}}$$

$$\text{Beispiel GSM: } \eta = 0,88 \frac{\text{bit/s}}{\text{Hz}}, \quad \text{LTE: } \eta = \frac{3 \text{ Gbit/s}}{100 \text{ MHz}} = 30 \frac{\text{bit/s}}{\text{Hz}}$$

### 10.4. Frequenz-Zeit-Unschärfe

Ein Signal kann nicht gleichzeitig hart Band- und Zeitbegrenzt sein!  
**Unschärfe:**  $T_D \cdot B_0 \geq \frac{1}{4\pi}$

Nach Trägheitsradius definiert. (Integral  $\int_{-\infty}^{\infty} t^2 g_s^2 dt$  konvergiert)

#### Schrankenfunktion für Spektrum:

Falls das Zeitsignal in der  $n$ -ten Ableitung das erste mal einen Sprung aufweist, gilt für das Betragsspektrum:

$$|X(f)| \propto \frac{1}{|f|^{n+1}} \quad \text{für große } |f|$$

Anmerkung:  $n$  kann auch negativ sein! Bsp:  $\delta(t) \Rightarrow n = -1$

### 10.5. Nyquist Bedingungen

#### 10.5.1. 1. Bedingung: Kein Symbolübersprechen

$$\text{Impulsantwort } g[nT] = \begin{cases} 1 & n = 0 \\ 0 & n \neq 0 \end{cases}$$

Fordert maximale vertikale Öffnung des Auges

Impuls Nullstellen:  $\pm 1T, \pm 2T, \pm 3T, \dots$

$$\text{Zeitbereich: } A\{g(t)\} = T \sum_{n=-\infty}^{\infty} g(nT) \cdot \delta(t - nT) = T \cdot \delta(t)$$

$$\text{Frequenzbereich: } P\{G(f)\} = \sum_{k=-\infty}^{\infty} G(f - \frac{k}{T}) = T$$

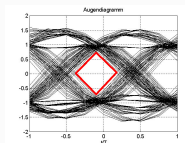
#### 10.5.2. 2. Bedingung: Verschärfung 1. Bedingung

$$\text{Impulsantwort } g\left[k \frac{T}{2}\right] = \begin{cases} 1 & k = 0 \\ g\left[\frac{T}{2}\right] & k = \pm 1 \\ 0 & \text{sonst} \end{cases}$$

Fordert maximale horizontale Öffnung des Auges

Zusätzliche Impuls Nullstellen:  $\pm 1.5T, \pm 2.5T, \pm 3.5T, \dots$

## 10.6. Augendiagramm



Bestimmung des Augendiagramm (4 Durchläufe): Für die Bereiche  $[-T_A, 0]$  und  $[0, T_A]$  werden die relevanten Pulse so überlagert (positiv oder negativ), dass das Auge minimal wird. Daraus ergibt sich die Überlagerungstabelle.

$D_{-2}$	$D_{-1}$	$D_1$	$D_{-1}$	$D_1$	$D_2$
+1	-1	-1	-1	-1	+1

Beispiel mit 1 Vor- und 2 Nachläufern:

-1	+1	+1	+1	+1	-1
----	----	----	----	----	----

**Vertikale Öffnung**  $A_v$ : Maß für Empfindlichkeit gegenüber Rauschen  
**Horizontale Öffnung**  $A_h$ : Maß für Empfindlichkeit gegenüber Schwankungen des Abtastzeitpunkts

## 10.7. Korrelation

Ein Maß für die Ähnlichkeit zweier Signale  $x(t)$ ,  $y(t)$  bei Verschiebung.

$$\text{Korrelationskoeffizient } \rho_{xy} = \frac{E_{xy}}{\sqrt{E_x \cdot E_y}} = \frac{\varphi_{xy}(0)}{\sqrt{\varphi_x(0) \cdot \varphi_y(0)}}$$

Es gilt: Korreliert  $\rho = 1$ , Orthogonal  $\rho = 0$ , Antipodisch  $\rho = -1$

**Kreuzkorrelationsfkt.** zwischen zueinander verschobenen Signalen:

$$\varphi_{xy}(\tau) = \varphi_{yx}(-\tau) = \int_{-\infty}^{\infty} x(t) \cdot y(t + \tau) dt$$

Zusammenhang mit Faltung:  $\varphi_{xy}(\tau) = x(-t) * y(t)|_{t=\tau}$

**Autokorrelationsfkt.** **AKF** ist Kreuzkorrelation mit sich selbst ( $y = x$ ):  
 $\varphi_x(\tau) = \varphi_{xx}(\tau)$  Anwendung: Erkennen von Perioden

**Energiebeziehung:**  $E_{x,y} = \rho_{x,y} \sqrt{E_x E_y}$  mit

$$\text{Energie } E_x = \int_{-\infty}^{\infty} x(t)^2 dt = \int_{-\infty}^{\infty} \Phi_x df = \varphi_{xx}(0) \quad (\text{endl. Sig.})$$

$$\text{Leistung } P_x = E[X^2] = \frac{1}{2T} \int_{-T}^T x(t)^2 dt \quad (\text{period. Sig.})$$

**Leistungsdichtespektrum**  $\Phi_x(f)$  ist definiert als  $\varphi_x \xrightarrow{\mathcal{F}} \Phi(f)$

Periodische Signale:  $\overline{\varphi_{xy}}(\tau) = \frac{1}{2T} \int_{-T}^T x(t)y(t+\tau) dt$

**Stochastische Signale:**  $\varphi_{XY}(\tau) = E[X(t) \cdot Y(t+\tau)]$

$$\rho_{X,Y} = \frac{\text{Cov}[X,Y]}{\sigma_X \sigma_Y}$$

$$\int_{-\infty}^{\infty} \Phi_X(f) df = \varphi_X(0) = \text{Var}[X] + E[X]^2 = \sigma_X^2 + \mu_X^2$$

## 11. Analoger Übertragungskanal

$$r(t) = h(t) * s(t) \quad R(f) = H(f) \cdot S(f)$$

$$\text{Verzerrungsfrei: } h(t) = h_0 \delta(t - t_0) \quad H(f) = h_0 e^{-i2\pi f t_0}$$

### 11.1. AWGN – Additive White Gaussian Noise

Weißes Rauschen  $N$  enthält alle Frequenzen. Thermisch:  $N_0 = k_B T$

$$\text{PDF} \quad f_N(n) = \frac{1}{\sqrt{2\pi} \cdot \sigma} e^{-\frac{n^2}{2\sigma^2}}$$

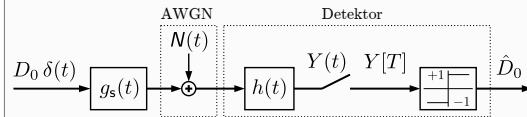
$$\text{LDS:} \quad \Phi_N(f) := \frac{N_0}{2} \quad \text{für } f < 10 \text{ GHz}$$

$$\text{AKF:} \quad \varphi_N(\tau) = \frac{N_0}{2} \delta(\tau) \quad \Rightarrow 0 \text{ für } \tau \neq 0$$

$$\text{Leistung} \quad P_N = \int \Phi_N df = \sigma^2 = B \cdot N_0$$

Äquivalente Rauschbandbreite  $B_N$ : Bandbreite eines idealen Tiefpasses, der die selbe Rauschleistung  $P_N$  erzeugt, wie das reale Tiefpassfiltersystem.

## 12. Detektion im Rauschen



gewähltes Bit  $\hat{D}_n$  eines tatsächlichen Bits  $D_n = \{1, 0\}$

Ziel:  $P(\hat{D}_n \neq D_n)$  soll minimal sein.

Lösung: maximiere SNR zum Abtastzeitpunkt  $nT$

Rauschleistung nach Filterung mit  $h(t)$ :

$$P_N = \int_{-\infty}^{\infty} \Phi_N |H(f)|^2 df = \frac{N_0}{2} \int_{-\infty}^{\infty} |H(f)|^2 df$$

$$\rightarrow \text{mit Satz von Parseval gilt: } P_N = \frac{N_0}{2} \int_{-\infty}^{\infty} |h_s(t)|^2 dt$$

$$\text{momentane Signalleistung: } P_s(t) = |y_s(t)|^2$$

$$\text{mittlere Signalleistung: } P_s = \lim_{T \rightarrow \infty} \frac{1}{T} \int_{-T}^T |y_s(t)|^2 dt$$

### 12.1. Matched Filter

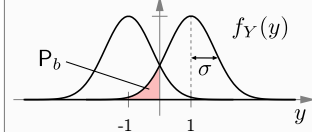
Signalangepasster Filter damit Signal im AWGN Kanal zum Abtastzeitpunkt die maximale SNR hat. Impulsantwort des Matched Filters:

$$h_{MF}(t) = K \cdot g_s^*(T - t) \quad (\text{entspricht gewendetem Sendeimpuls})$$

$$H_{MF}(f) = K \cdot G_s^*(f) \cdot e^{-j2\pi f T}$$

$$\text{Maximum SNR: } \frac{P_s}{P_N} = \frac{2E_s}{N_0}$$

### 12.2. Fehlerwahrscheinlichkeit $P_b$



$$P_b = \frac{1}{\sqrt{2\pi}} \cdot \int_{z_0}^{\infty} e^{-\frac{z^2}{2}} dz = Q(z_0) = \frac{1}{2} \text{erfc}\left(\sqrt{\frac{1}{2} \text{SNR}}\right)$$

Substituiere  $z_0$

$$\text{Für matched Filter: } P_b = Q(\sqrt{P_s/P_n}) = Q(\sqrt{Y_s^2/\sigma_N^2}) = Q(\sqrt{2E_s/N_0}) = Q(\sqrt{\text{SNR}})$$

### 12.3. Zeitdiskreter AWGN-Kanal

$$\sigma^2 = \frac{\sigma_N^2}{A^2} = \frac{N_0}{2E_s} = \frac{1}{\text{SNR}}$$

### 12.4. Unabhängiges (unkorreliertes) Rauschen

Falls die erste Nyquistbedingung erfüllt und maximale SNR:

$\Rightarrow$  Die Folge abgetasteter Rauschanteile ist unabhängig!

## 13. Lineare, digitale Modulation

### 13.1. Allgemeines

Dimensionen: Phase (sin/cos), Polarisation (hori/vert)

Die meisten Medien übertragen um eine Trägerfrequenz  $f_0$  (Bandpass)

Bandpass-Sendesignal (moduliert mit  $S(t)$ ):

$$\hat{S}(t) = A(t) \sqrt{2} \cos(2\pi(f_0 + F(t))t + \varphi_0(t))$$

Inphasenteil (Cosinusträger)  $S_I(t) = A(t) \cos(\varphi'(t))$

Quadraturanteil (Sinusträger)  $S_Q(t) = A(t) \sin(\varphi'(t))$

$$\text{Amplitude: } |A(t)| = \sqrt{S_I^2(t) + S_Q^2(t)}$$

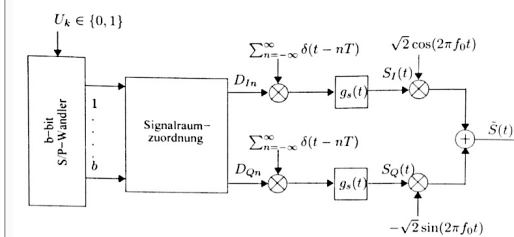
$$\text{Phase: } \varphi'(t) = \arctan \frac{S_Q(t)}{S_I(t)}$$

$$\text{Mittl. Energie pro Symbol: } \overline{E}_S = E[D_{I_n}^2 + D_{Q_n}^2] \cdot \underbrace{\int_0^T |g_s(t)|^2 dt}_{E_{g_s}}$$

$$\text{Energie je Bit: } E_{\text{bit}} = \frac{\overline{E}_S}{\# \text{ Bits}}$$

Anfälligkeit gegenüber Rauschen:  $d_{\min}$

### 13.2. Modulation und Signalraumzuordnung



Moduliertes Sendesignal

$$\hat{S}(t) = S_I(t) \sqrt{2} \cos(2\pi f_0 t) - S_Q(t) \sqrt{2} \sin(2\pi f_0 t)$$

$$= \left[ \sum_{n=-\infty}^{\infty} D_{I_n} g_s(t - nT) \right] \sqrt{2} \cos(2\pi f_0 t)$$

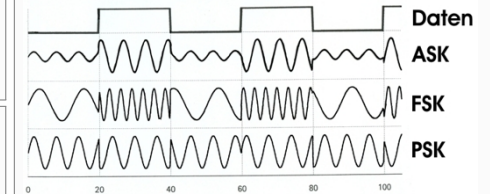
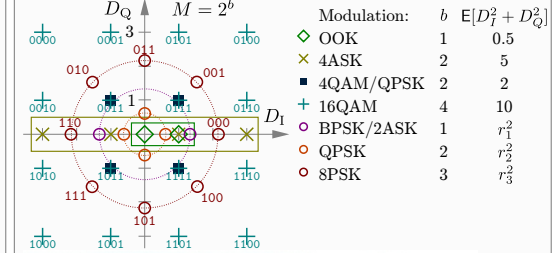
$$- \left[ \sum_{n=-\infty}^{\infty} D_{Q_n} g_s(t - nT) \right] \sqrt{2} \sin(2\pi f_0 t)$$

### 13.3. Modulationsarten

linear: AM  $A(t)$ , ASK, PSK

nicht linear: FM  $F(t)$ , PM  $\varphi(t)$ , FSK

Probleme: Nichtlineare Verstärker verzerren Raumpunkte



### 13.4. On-Off Keying (OOK)

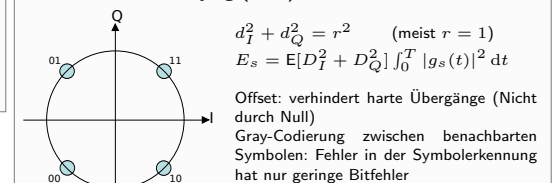
Intensitätsmodulation mit  $b = 1$  (Laser an oder aus)

$$\text{Mittlere Energie pro Symbol: } E_s = \frac{A_{\text{on}}^2}{2}$$

### 13.5. Amplitude Shift Keying (M-ASK)

$$\text{Für } M \text{ Stufen mit Abstand } \Delta \text{ gilt: } E[D_I^2] = \frac{\Delta^2(M^2 - 1)}{12}$$

### 13.6. Phase Shift Keying (PSK)



#### 13.6.1. DPSK

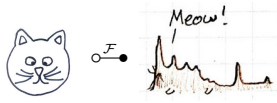
Differentielle binäre Phasenmodulation

0: Phase bleibt gleich, 1: Phase ändert sich

### 13.7. Quadraturamplitudenmodulation (M-QAM)

$$\text{Für } M \text{ Stufen und Abstand } \Delta: E[D_I^2 + D_Q^2] = \frac{\Delta^2(M - 1)}{6}$$


Auch wichtig:



## Eigene Notizen:

14. Mathematik

14.1. Polynome  $P(x) \in \mathbb{R}[x]_n = \sum_{i=0}^n a_i x^i$  vom Grad  $n$



**Gerade** durch Punkt  $P(x_0, y_0)$ :  
 $y = m(x - x_0) + y_0$

**Quadratisch:**  $y = ax^2 + bx + c$   
Mitternachtsformel für Nullstellen:  
 $x_{1/2} = \frac{-b \pm \sqrt{b^2 - 4ac}}{2a}$

14.2. Exponentialfunktion und Logarithmus

$a^x = e^{x \ln a}$  $\log_a x = \frac{\ln x}{\ln a}$  $\ln x \leq x - 1$

$\ln(x^a) = a \ln(x)$  $\ln(\frac{x}{a}) = \ln x - \ln a$  $\log(1) = 0$

14.3. Sinus, Cosinus  $\sin^2(x) + \cos^2(x) = 1$

$x$	0	$\pi/6$	$\pi/4$	$\pi/3$	$\frac{1}{2}\pi$	$\pi$	$1\frac{1}{2}\pi$	$2\pi$
$\varphi$	0°	30°	45°	60°	90°	180°	270°	360°
sin	0	$\frac{1}{2}$	$\frac{1}{\sqrt{2}}$	$\frac{\sqrt{3}}{2}$	1	0	-1	0
cos	1	$\frac{\sqrt{3}}{2}$	$\frac{1}{\sqrt{2}}$	$\frac{1}{2}$	0	-1	0	1
tan	0	$\frac{\sqrt{3}}{3}$	1	$\sqrt{3}$	$\pm\infty$	0	$\mp\infty$	0

**Additionstheoreme**

 $\cos(x - \frac{\pi}{2}) = \sin x$  $\sin(x + \frac{\pi}{2}) = \cos x$  $\sin 2x = 2 \sin x \cos x$  $\cos 2x = 2 \cos^2 x - 1$  $\sin(x) = \tan(x) \cos(x)$

**Stammfunktionen**

 $\int x \cos(x) dx = \cos(x) + x \sin(x)$  $\int x \sin(x) dx = \sin(x) - x \cos(x)$  $\int \sin^2(x) dx = \frac{1}{2} (x - \sin(x) \cos(x))$  $\int \cos^2(x) dx = \frac{1}{2} (x + \sin(x) \cos(x))$  $\int \cos(x) \sin(x) = -\frac{1}{2} \cos^2(x)$

$\sin(x \pm y) = \sin x \cos y \pm \sin y \cos x$  $\cos(x \pm y) = \cos x \cos y \mp \sin x \sin y$  $\sin x = \frac{1}{2i}(e^{ix} - e^{-ix})$  $\cos x = \frac{1}{2}(e^{ix} + e^{-ix})$

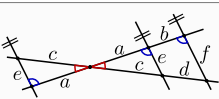
14.4. Integralarten

Partielle Integration:  $\int u w' = u w - \int u' w$   
Substitution:  $\int f(g(x))g'(x) dx = \int f(t) dt$

$F(x) - C$	$f(x)$	$f'(x)$
$\frac{1}{q+1} x^{q+1}$	$x^q$	$q x^{q-1}$
$\frac{2\sqrt{ax^3}}{3}$	$\sqrt{ax}$	$\frac{a}{2\sqrt{ax}}$
$x \ln(ax) - x$	$\ln(ax)$	$\frac{a}{x}$
$\frac{1}{a^2} e^{ax} (ax - 1)$	$x \cdot e^{ax}$	$e^{ax} (ax + 1)$
$\frac{a^x}{\ln(a)}$	$a^x$	$a^x \ln(a)$
$-\cos(x)$	$\sin(x)$	$\cos(x)$
$\cosh(x)$	$\sinh(x)$	$\cosh(x)$
$\text{Si}(x)$	$\text{sinc}(x)$	$\frac{x \cos(x) - \sin(x)}{x^2}$
$-\ln  \cos(x) $	$\tan(x)$	$\frac{1}{\cos^2(x)}$

$\int e^{at} \sin(bt) dt = e^{at} \frac{a \sin(bt) + b \cos(bt)}{a^2 + b^2}$  $\int x e^{ax^2} dx = \frac{1}{2a} e^{ax^2}$  $\int t^2 e^{at} dt = \frac{(ax-1)^2 + 1}{a^3} e^{at}$

15. Geometrie  $a^2 + b^2 = c^2$



**Strahlensatz:**  
 $a : b = c : d$  $\frac{a+b}{c+d} = \frac{a}{c} = \frac{b}{d}$  $\frac{a}{a+b} = \frac{c}{c+d} = \frac{e}{f}$

Innenwinkelsumme im  $n$ -Eck:  $(n - 2) \cdot 180^\circ$

**Allg. Dreieck**  $\triangle ABC$  mit Seiten  $a, b, c$  und Winkel  $\alpha, \beta, \gamma$ :  
Kosinussatz:  $c^2 = a^2 + b^2 - 2ab \cos(\gamma)$   
Sinussatz:  $\frac{a}{\sin \alpha} = \frac{b}{\sin \beta} = \frac{c}{\sin \gamma}$   
Projektionssatz:  $c = a \cos \beta + b \cos \alpha$   
Höhe  $h_c = a \sin \beta = b \sin \alpha$  Fläche  $A = \frac{1}{2} h_c c = \frac{1}{2} h_a a$   
Schwerpunkt:  $x_S = \frac{1}{3} (x_A + x_B + x_C)$   $y_S = \frac{1}{3} (y_A + y_B + y_C)$

**Rechtwinkliges Dreieck**  $\triangle ABC$  mit  $\gamma = 90^\circ$  bei  $C$ :  
Pythagoras:  $a^2 + b^2 = c^2$   
Höhensatz:  $h^2 = pq$   
Kathetensatz:  $a^2 = pc$   
 $a = c \sin \alpha = c \cos \beta = b \tan \alpha$

**Pyramide** mit beliebiger Grundfläche  $G$ :  
 $V = \frac{1}{3} G \cdot h$   
SP: liegt auf  $h$  mit  $y_S = h/4$

**Zylinder/Prisma**:  
 $V = G \cdot h$   
 $M = U \cdot h$

**Kreis:**  $A = \pi r^2$   $U = 2\pi r$   
**Kugel:**  $V = \frac{4}{3} \pi r^3$   $O = 4\pi r^2$   
Kreissehne:  $s = 2r \sin(\alpha/2)$

16. Stochastik

16.1. Der Wahrscheinlichkeitsraum  $(\Omega, \mathbb{F}, P)$   
Ein Wahrscheinlichkeitsraum  $(\Omega, \mathbb{F}, P)$  besteht aus

**Ergebnismenge**  $\Omega = \{\omega_1, \omega_2, \dots\}$  Ergebnis  $\omega_j \in \Omega$

**Ereignisalgebra**  $\mathbb{F} = \{A_1, A_2, \dots\}$  Ereignis  $A_i \subseteq \Omega$

**Wahrscheinlichkeitsmaß**  $P : \mathbb{F} \rightarrow [0, 1]$   $P(A) = \frac{|A|}{|\Omega|}$

Es gilt:  $P(A \cup B) = P(A) + P(B) - P(A \cap B)$

**Bedingte Wahrscheinlichkeit** für  $A$  falls  $B$  bereits eingetreten ist:  
 $P_B(A) = P(A|B) = \frac{P(A \cap B)}{P(B)}$   
Multiplikationssatz:  $P(A \cap B) = P(A|B) P(B) = P(B|A) P(A)$

**Erwartungswert:**  $E[X] = \mu = \sum x_i P(x_i) = \int_{\mathbb{R}} x \cdot f_X(x) dx$   
**Varianz:**  $\text{Var}[X] = E[(X - E[X])^2] = E[X^2] - E[X]^2$   
Standard Abweichung  $\sigma = \sqrt{\text{Var}[X]}$

**Covarianz:**  $\text{Cov}[X, Y] = E[(X - E[X])(Y - E[Y])] = \text{Cov}[Y, X]$

**Binominalverteilung** (diskret,  $n$  Versuche,  $k$  Treffer):  
 $P(X = k) = \binom{n}{k} p^k (1 - p)^{n-k}$   $\mu = np$   $\sigma^2 = np(1 - p)$

**Korrelation** ist ein Maß für den linearen Zusammenhang von Variablen

Kreuzkorrelation von  $X$  und  $Y$ :  
 $r_{xy} = \frac{\text{Cov}(X, Y)}{\sigma_X \sigma_Y}$

16.2. Normalverteilung

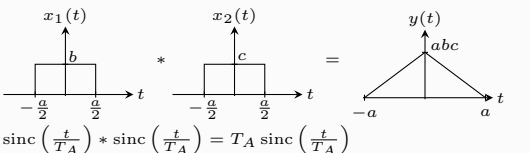
PDF:  $f_X(x) = \frac{1}{\sqrt{2\pi\sigma^2}} e^{-\frac{(x-\mu)^2}{2\sigma^2}}$   $x \in \mathbb{R}$

$E(X) = \mu$  Erwartungswert  $\text{Var}(X) = \sigma^2$  Varianz  $\varphi_X(\omega) = e^{j\omega\mu - \frac{\omega^2\sigma^2}{2}}$  Charakt. Funktion

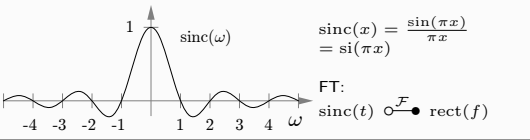
17. Signale

17.1. Faltung von Signalen

$x(t) * h(t) = h(t) * x(t) = \int_{-\infty}^{\infty} x(\tau) \cdot h(t - \tau) d\tau$



17.2. sinc-Signal



18. Fouriertransformation

$x(t) \xrightarrow{\mathcal{F}} X(f) := \int_{-\infty}^{\infty} x(t) \exp(-j2\pi ft) dt$   
Zeitbereich Frequenzspektrum

18.1. Eigenschaften der Fouriertrafo

Linearität:  $\alpha x(t) + \beta g(t) \xrightarrow{\mathcal{F}} \alpha X(f) + \beta G(f)$

Zeitverschiebung:  $x(t - \tau) \xrightarrow{\mathcal{F}} e^{-j2\pi f\tau} X(f)$

Frequenzversch.:  $e^{j2\pi f_0 t} \xrightarrow{\mathcal{F}} X(f - f_0)$

Vertauschung:  $U^*(t) \xrightarrow{\mathcal{F}} u^*(f)$

Stauchung:  $x(ct) \xrightarrow{\mathcal{F}} \frac{1}{|c|} X(\frac{f}{c})$

Ableitung:  $x^{(n)}(t) \xrightarrow{\mathcal{F}} (j2\pi f)^n X(f)$

Integral:  $\int_{-\infty}^t x(\tau) d\tau \xrightarrow{\mathcal{F}} (\frac{1}{j2\pi f} - \frac{1}{j2\pi f}) X(f)$

Faltung:  $(x * g)(t) \xrightarrow{\mathcal{F}} X(f) \cdot G(f)$

Parseval:  $\int_{-\infty}^{\infty} u_1(t) \cdot u_2^*(t) dt = \int_{-\infty}^{\infty} U_1(f) \cdot U_2^*(f) df$

Energie:  $E = \int_{-\infty}^{\infty} |u(t)|^2 dt = \int_{-\infty}^{\infty} |U(f)|^2 df$

Zusammenhang zwischen geraden und ungeraden Signalanteilen:

$x(t) = g + u + jg + ju$  $X(f) = G + U + jG + jU$

Bei periodischen Signalen: Fourierreihen!

$x(t) \xrightarrow{\mathcal{F}} X(f) \xrightarrow{\mathcal{F}} x(-t) \xrightarrow{\mathcal{F}} X(-f)$

18.2. Wichtige Fouriertransformationen

Zeitfunktion	Spektrum

18.3. Weitere Paare

$f(t)$	$F(\omega)$	$f(t)$	$F(\omega)$
$ t^n $	$\frac{2n!}{(i\omega)^{n+1}}$	$\text{sinc}(\frac{t}{T})$	$T \text{rect}(fT)$
$t^n$	$2\pi i^n \delta^{(n)}(\omega)$	$\frac{t^{n-1}}{(n-1)!} e^{-at} u(t)$	$\frac{1}{(a+i\omega)^n}$
		$\exp(-\alpha t)$	$\frac{1}{i2\pi f + \alpha}$

19. E-Technik

19.1. title

